

## Actuariat de l'Assurance Non-Vie # 1

A. Charpentier (Université de Rennes 1)

ENSAE 2017/2018

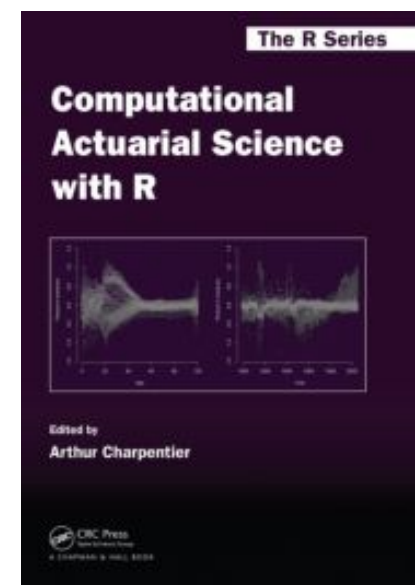


credit: Arnold Odermatt

## Rapide Introduction

A. Charpentier (Université de Rennes 1)

Professor Economics Department, Univ. Rennes 1  
(previously Actuarial Sciences, UQÀM & ENSAE Paristech  
actuary in Hong Kong, IT & Stats FFA)  
PhD in Statistics (KU Leuven), Fellow of the Institute of Actuaries  
MSc in Financial Mathematics (Paris Dauphine) & ENSAE  
Research Chair  
ACTINFO (valorisation et nouveaux usages actuariels de l'information)  
Editor of the [freakonometrics.hypotheses.org](http://freakonometrics.hypotheses.org)'s blog  
Editor of Computational Actuarial Science, CRC  
Author of *Mathématiques de l'Assurance Non-Vie* (2 vol.), Economica



## Quelques références

Denuit & Charpentier (2005). [Mathématiques de l'Assurance Non-Vie](#). Economica.

Dhaene *et al.* (2005). [Modern Actuarial Risk Theory](#). Springer Verlag.

Ohlsson & Johansson (2010) [Non-life Insurance Pricing with Generalized Linear Models](#). Springer

de Jong & Heller (2008). [Generalized Linear Models for Insurance Data](#). Cambridge University Press.

Denuit *et al.* (2007) [Actuarial Modelling of Claims Counts](#). Wiley.

Cameron & Trivedi (2013) [Regression Analysis of Count Data Book](#). Cambridge University Press

Hilbe (2011) [Negative Binomial Regression](#) Cambridge University Press

McCullagh & Nelder (1989) [Generalized Linear Models](#). CRC.

Wood (2006) [Generalized Additive Models](#). CRC

Hastie *et al.* (2001) [The Elements of Statistical Learning](#). Springer.

Charpentier. (2015). [Computational Actuarial Pricing, with R](#). CRC.

Wüthrich & Merz. (2008). [Stochastic Claims Reserving Methods in Insurance](#). Wiley.



## Plan du Cours

- Introduction Générale à la tarification en assurance non-vie
- Classification, régression logistique et arbres de classification
- Régression de Poisson et surdispersion (Binomiale Négative, Zero-Inflated)
- Tarification a posteriori, modèles de crédibilité
- Modélisation des coûts individuels, grands risques
- Modèle collectif vs. modèle individuel, régression Tweedie
- Provisions pour Sinistres à Payer

Cf FSA: Applications of Statistical Techniques Module

## La notion de ‘prime pure’

Pour une variable de comptage

$$\mathbb{E}(N) = \sum_{n \in \mathbb{N}} n \mathbb{P}(N = n) = \sum_{n \in \mathbb{N}} \mathbb{P}(N > n)$$

Pour une variable continue positive

$$\mathbb{E}(X) = \int_{x \in \mathbb{R}_+} x f(x) dx = \int_{x \in \mathbb{R}_+} \mathbb{P}(X > x) dx$$

où  $\mathbb{P}(X > x) = \bar{F}(x) = \int_x^\infty f(t) dt.$

## La notion de ‘prime pure’

Plus généralement,

$$\mathbb{E}(X) = \int_{x \in \mathbb{R}} x dF(x)$$

où  $F$  admet un nombre fini (ou dénombrable) de discontinuité  $\{d_1 \leq d_2 \leq \dots\}$ .

$$dF(x) = \begin{cases} F(d_n) - F(d_n^-) & \text{si } x = d_n \\ \tilde{f}(x) & \text{sinon} \end{cases}$$

où

$$F(x) = \sum_{d_n \leq x} \mathbb{P}(X = d_n) + \int_{t \leq x} \tilde{f}(t) dt$$

Etant donné un risque  $X$ , la prime pure est  $\pi_X = \mathbb{E}[X]$ .

## Calcul pour des lois classiques

Pour les lois discrètes classiques

- si  $N \sim \mathcal{B}(n, p)$ ,  $\mathbb{P}(N = k) = \binom{n}{k} p^k [1 - p]^{n-k}$ , alors  $\mathbb{E}(X) = np$ , et  
 $\text{Var}(X) = np(1 - p) < \mathbb{E}(X)$
- si  $N \sim \mathcal{P}(\lambda)$ ,  $\mathbb{P}(N = k) = e^{-\lambda} \frac{\lambda^k}{k!}$ , alors  $\mathbb{E}(X) = \lambda$ , et  $\text{Var}(X) = \lambda = \mathbb{E}(X)$
- si  $N \sim NB(r, p)$ ,  $\mathbb{P}(N = k) = \frac{\Gamma(r + k)}{k! \Gamma(r)} p^r [1 - p]^k$ , alors  $\mathbb{E}(X) = \frac{r[1 - p]}{p}$ , et  
 $\text{Var}(X) > \mathbb{E}(X)$

## Calcul pour des lois classiques

Pour les lois continues classiques

- si  $N \sim \mathcal{N}(\mu, \sigma^2)$ ,  $\varphi(x) = \frac{1}{\sigma\sqrt{2\pi}} \exp\left(-\frac{(x-\mu)^2}{2\sigma^2}\right)$ , alors  $\mathbb{E}(X) = \mu$ ,
- si  $N \sim LN(\mu, \sigma^2)$ ,  $f(x) = \frac{1}{x\sigma\sqrt{2\pi}} \exp\left(-\frac{[\ln(x)-\mu]^2}{2\sigma^2}\right)$ , alors  
 $\mathbb{E}(X) = \exp\left(\mu + \frac{\sigma^2}{2}\right)$ ,
- si  $N \sim \mathcal{G}(\alpha, \beta)$ ,  $f(x) = x^{\alpha-1} \frac{\beta^\alpha e^{-\beta x}}{\Gamma(\alpha)}$ , alors  $\mathbb{E}(X) = \frac{\alpha}{\beta}$ ,

## Espérance mathématique d'une loi composée

Dans un modèle collectif, on s'intéresse à  $S = \sum_{n=1}^N X_i$  si  $N \geq 1$ , 0 sinon.

Si les  $X_i$  sont i.i.d., indépendants de  $N$ , alors

$$\begin{aligned}\mathbb{E}[S] &= \mathbb{E}[\mathbb{E}(S|N)] = \sum_{k=1}^{+\infty} \mathbb{P}[N=k] \cdot \mathbb{E}\left[\sum_{i=1}^k X_i\right] \\ &= \left(\sum_{k=1}^{+\infty} \mathbb{P}[N=k] \cdot k\right) \mathbb{E}[X_1] = \mathbb{E}[N] \cdot \mathbb{E}[X_1].\end{aligned}$$

où

- $\mathbb{E}[N]$  est la fréquence
- $\mathbb{E}[X_1]$  est le coût moyen

## Espérance, Fair Price et Prime Pure

Pascal, Fermat ou Condorcet (XVIIIème siècle) proposaient d'évaluer le “*produit scalaire des probabilités et des gains*”,

$$\langle \mathbf{p}, \mathbf{x} \rangle = \sum_{i=1}^n p_i x_i = \mathbb{E}_{\mathbb{P}}(X),$$

selon la “*règle des parties*”  $\implies$  garantie un équilibre du système, en moyenne.

L'espérance mathématique est un prix “*juste*” Feller (1968),

- moindres carrés,  $\mathbb{E}(X) = \operatorname{argmin} \{\|X - c\|_{\ell^2}, c \in \mathbb{R}\}$
- loi des grands nombres,  $\frac{X_1 + \dots + X_n}{n} \xrightarrow{\mathbb{P}} \mathbb{E}(X)$ ,
- théorème central limite,  $\frac{X_1 + \dots + X_n}{n} \underset{\mathcal{L}}{\sim} \mathcal{N}\left(\mathbb{E}(X), \frac{Var(X)}{\sqrt{n}}\right)$ ,
- probabilité de ruine,  $\lim_{n \rightarrow \infty} \mathbb{P}\left(\frac{X_1 + \dots + X_n}{n} > \pi\right) = 1$  pour  $\pi < \mathbb{E}(X)$ .

## Prime Pure Sans Segmentation

$$\begin{cases} \mathbb{E}(Y) = \operatorname{argmin}_{m \in \mathbb{R}} \{\|Y - m\|_{\ell_2}\} = \operatorname{argmin}_{m \in \mathbb{R}} \{\mathbb{E}([Y - m]^2)\} \\ \operatorname{Var}(Y) = \min_{m \in \mathbb{R}} \{\mathbb{E}([Y - m]^2)\} = \mathbb{E}([Y - \mathbb{E}(Y)]^2) \end{cases}$$

$$\begin{cases} \bar{y} = \operatorname{argmin}_{m \in \mathbb{R}} \left\{ \sum_{i=1}^n \frac{1}{n} [y_i - m]^2 \right\} \\ s^2 = \min_{m \in \mathbb{R}} \left\{ \sum_{i=1}^n \frac{1}{n} [y_i - m]^2 \right\} = \sum_{i=1}^n \frac{1}{n} [y_i - \bar{y}]^2 \end{cases}$$

## Éxcédant Moyen de Sinistre

L'excédant moyen de sinistre (encore appelé durée de vie moyenne restante en assurance sur la vie) est défini par

$$\begin{aligned} e_X(x) &= \mathbb{E}[X - x | X > x] \\ &= \frac{1}{\bar{F}_X(x)} \int_x^{+\infty} (s - x) dF_X(s), \quad x \geq 0. \end{aligned}$$

## Éxcédant Moyen de Sinistre

Loi de probabilité	$e_X(x)$
$\mathcal{E}(\lambda)$	$\frac{1}{\theta}$
$\mathcal{G}(\alpha, \beta)$	$\frac{\alpha}{\beta} \frac{1 - \Gamma(\alpha + 1, \beta x)}{1 - \Gamma(\alpha, \beta x)} - x$
$LN(\mu, \sigma^2)$	$\exp(\mu + \frac{\sigma^2}{2}) \frac{\Phi\left(\frac{\ln(x) - \mu - \sigma^2}{\sigma}\right)}{\Phi\left(\frac{\ln(x) - \mu}{\sigma}\right)} - x$
$\text{Pareto}(\alpha, x_0)$	$\frac{x_0 + x}{\alpha - 1}$

## Primes Stop-Loss ou Contrat avec Franchise

Etant donné un risque  $X$ , la prime stop-loss pour une franchise  $d \geq 0$  est définie par

$$\pi_X(d) = \mathbb{E}[(X - d)_+] = e_X(d)\bar{F}(d).$$

Un traité de réassurance stop-loss (ou excédent de perte) consiste à faire prendre en charge par le réassureur la partie de la charge totale  $S$  des sinistres qui dépasse une certaine somme  $d$ . La portion réassurée, notée  $S^R$ , est donc définie par

$$S^R = (S - d)_+ = \begin{cases} 0, & \text{si } S \leq d, \\ S - d, & \text{si } S > d. \end{cases}$$

La prime pure que la cédante devra verser au réassureur pour un tel contrat, appelée prime stop-loss, est donnée par

$$\mathbb{E}[S^R] = \mathbb{E}[(S - d)_+].$$

Etant donné un risque  $X$ , la prime stop-loss pour une rétention  $t \geq 0$  est définie par

$$\pi_X(t) = \mathbb{E}[(X - t)_+].$$

La fonction  $\pi_X$  est encore appelée la transformée stop-loss de la variable aléatoire  $X$ .

La transformée stop-loss peut s'exprimer

$$\pi_X(t) = \int_{x=t}^{+\infty} \bar{F}_X(x)dx.$$

Supposons  $\mathbb{E}[X] < +\infty$ . La transformée stop-loss  $\pi_X$  possède les propriétés suivantes:

- (i) elle est décroissante et convexe.
- (ii)  $\lim_{t \rightarrow +\infty} \pi_X(t) = 0$  et  $\lim_{t \rightarrow -\infty} \{\pi_X(t) + t\} = \mathbb{E}[X]$ .

## Hétérogénéité



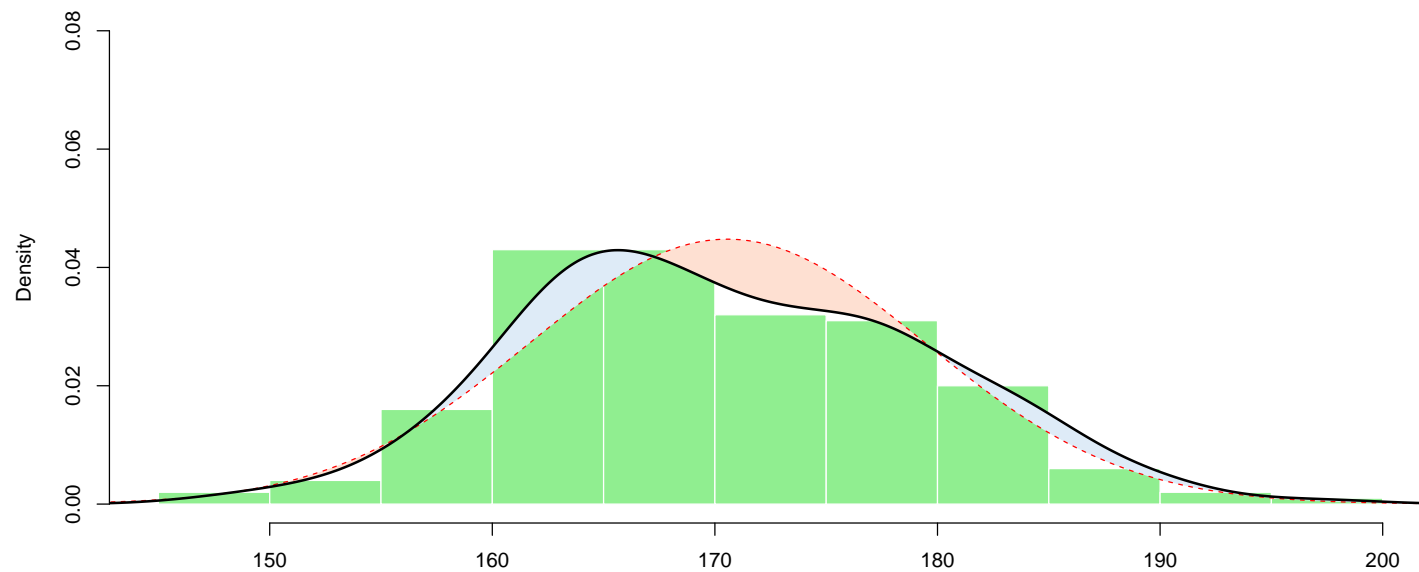
## Hétérogénéité

Considérons la taille d'un groupe d'assurés,

```

1 > Davis=read.table("http://socserv.socsci.mcmaster.ca/jfox/Books/
  Applied-Regression-2E/datasets/Davis.txt")
2 > Davis[12,c(2,3)] <- Davis[12,c(3,2)]
3 > Y <- Davis$height

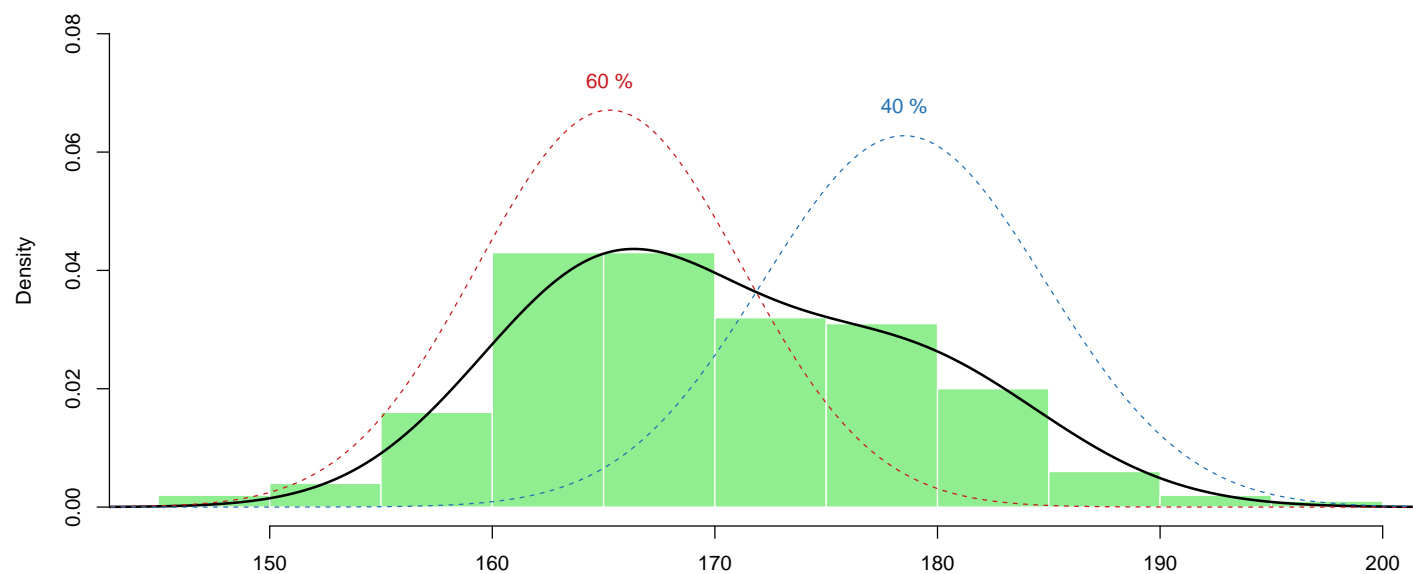
```



## Hétérogénéité, effet aléatoire

Comme  $Y \not\sim \mathcal{N}(\mu, \sigma^2)$ , on peut considérer un mélange pour  $Y$

$$Y \sim \begin{cases} \mathcal{N}(\mu_1, \sigma_1^2) \text{ avec probabilité } p_1, \text{ i.e. variable latente } \Theta = 1 \\ \mathcal{N}(\mu_2, \sigma_2^2) \text{ avec probabilité } p_2, \text{ i.e. variable latente } \Theta = 2 \end{cases}$$



## Hétérogénéité, effet aléatoire

On fait alors du maximum de vraisemblance ‘à la main’,

$$f(y) = p f_{\theta_1}(x) + [1 - p] f_{\theta_2}(x)$$

```

1 > logdf <- function(x,parameter){
2 + p   <- parameter[1]
3 + m1  <- parameter[2]
4 + s1  <- parameter[4]
5 + m2  <- parameter[3]
6 + s2  <- parameter[5]
7 + return(log(p*dnorm(x,m1,s1)+(1-p)*dnorm(x,m2,s2))) }
8 > logL <- function(parameter) -sum(logdf(X,parameter))
9 > Amat <- matrix(c(1,-1,0,0,0,0,
10+ 0,0,0,0,1,0,0,0,0,0,0,0,1), 4, 5)
11 > bvec <- c(0,-1,0,0)
12 > constrOptim(c(.5,160,180,10,10), logL, NULL, ui = Amat, ci = bvec)$
13      par
13 [1] 0.5996263 165.2690084 178.4991624 5.9447675 6.3564746

```

## Hétérogénéité, effet aléatoire

ou, plus efficace, on utilise un algorithme EM,

```

1 > library(mixtools)
2 > mix <- normalmixEM(Y)
3   number of iterations= 335
4 > (param12 <- c(mix$lambda[1], mix$mu, mix$sigma))
5 [1] 0.4002202 178.4997298 165.2703616 6.3561363 5.9460023

```

(sans spécifier le nombre de classes... ni contraintes, e.g.  $\sigma_1^2 = \sigma_2^2$ )

### Remarque

```

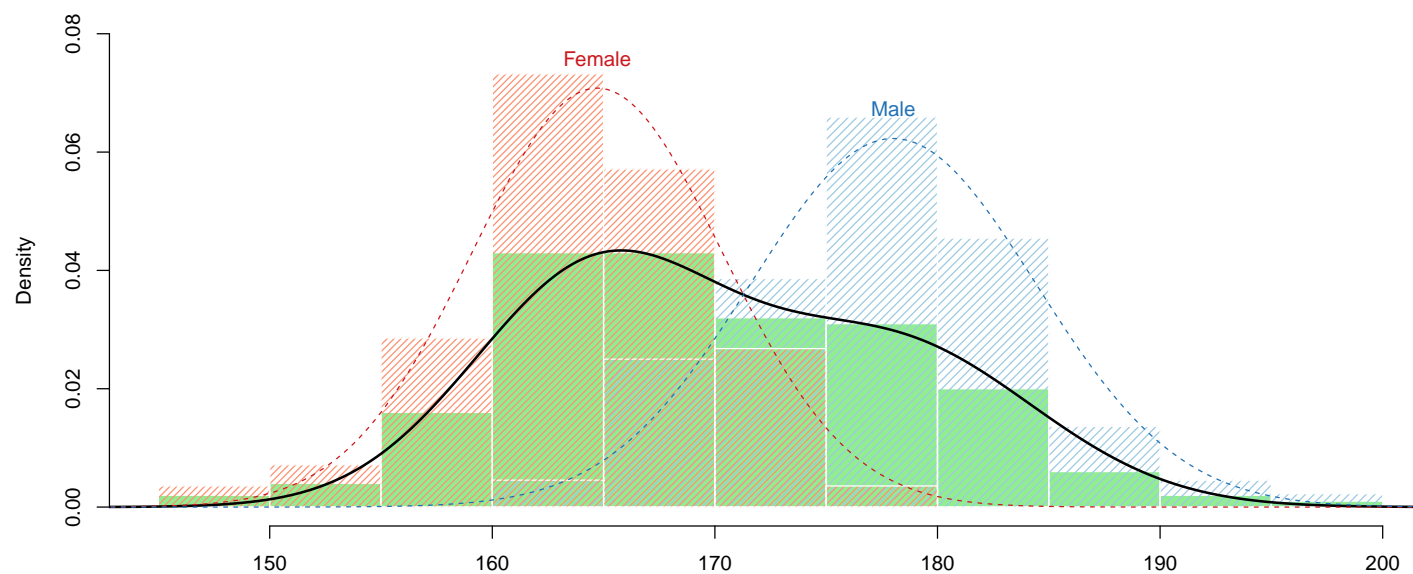
1 > sd(Y)
2 [1] 8.932228

```

## Hétérogénéité, effet fixe

On peut utiliser une covariable pour modéliser  $Y|X = x$

$$Y \sim \begin{cases} \mathcal{N}(\mu_M, \sigma_M^2) & \text{si } X = \text{'male'}, \text{ avec } p_M \\ \mathcal{N}(\mu_F, \sigma_F^2) & \text{si } X = \text{'female'}, \text{ avec } p_F \end{cases}$$



## Hétérogénéité, effet fixe

```

1 > (pM <- mean(sex=="M"))
2 [1] 0.44
3 > (paramF <- fitdistr(X[sex=="F"],"normal")$estimate)
4      mean           sd
5 164.714286   5.633808
6 > (paramM <- fitdistr(X[sex=="M"],"normal")$estimate)
7      mean           sd
8 178.011364   6.404001

```

ou si on veut une variance identique

```

1 > s=sqrt((sum((height[sex=="M"]-paramM[1])^2)+sum((height[sex=="F"]-
2   paramF[1])^2))/(nrow(Davis)-2))
2 > s
3 [1] 6.015068

```

## Hétérogénéité d'un portefeuille en information parfaite

Considérons une assurance voyage, avec les indemnités

- pays A, 250 € avec probabilité 10%
- pays B, 250 € avec probabilité 20%

La dépense sera, conditionnelle à la destination

$$S_A = \begin{cases} 0, & \text{avec la probabilité 0.9,} \\ 250\text{€}, & \text{avec la probabilité 0.1} \end{cases}$$

et

$$S_B = \begin{cases} 0, & \text{avec la probabilité 0.8,} \\ 250\text{€}, & \text{avec la probabilité 0.2.} \end{cases}$$

## Hétérogénéité d'un portefeuille en information parfaite

Si la destination n'est pas observée

$$S_{AB} = \begin{cases} 0, & \text{avec la probabilité 0.85,} \\ 250\text{€}, & \text{avec la probabilité 0.15.} \end{cases}$$

La prime pure

- sans segmentation sera  $\mathbb{E}(S_{AB}) = 37.5\text{€}$
- avec segmentation sera  $\mathbb{E}(S_A) = 25\text{€}$  à destination de A et  $\mathbb{E}(S_B) = 50\text{€}$  à destination de B

S'il y a deux compagnies qui se font concurrence, une qui segmente, l'autre pas...

## Hétérogénéité et mélange de lois

Supposons qu'il existe un **effet aléatoire  $\Theta$**  représentant le niveau de risque (inconnu) d'un assuré pris au hasard dans le portefeuille. On suppose que  $X$  sachant  $\Theta = \theta$  admet pour loi  $F_\theta$ . Alors

$$\mathbb{P}(X \leq x) = \mathbb{E}[\mathbb{P}(X \leq x | \Theta)] = \int_{\Omega} F_\theta(x) d\Pi(\theta)$$

(moyenne des  $F_\theta$  pondérée par  $d\Pi$ ).

## Mélange de lois de Poisson et sur-dispersion

La variable aléatoire de comptage  $N$  est de loi de Poisson mélange de moyenne  $\lambda$  et de niveau de risque relatif  $\Theta$  lorsque

$$\begin{aligned}\mathbb{P}[N = k] &= \mathbb{E} \left[ \exp(-\lambda\Theta) \frac{(\lambda\Theta)^k}{k!} \right] \\ &= \int_0^{+\infty} \exp(-\lambda\theta) \frac{(\lambda\theta)^k}{k!} dF_\Theta(\theta), \quad k \in \mathbb{N},\end{aligned}\tag{1}$$

où  $F_\Theta$  est la fonction de répartition de  $\Theta$ , telle que  $\mathbb{E}[\Theta] = 1$ . On notera  $\mathcal{MPoi}(\lambda, F_\Theta)$  ou  $\mathcal{MPoi}(\lambda, \Theta)$ .

## Mélange de lois de Poisson et sur-dispersion

Considérons l'exemple classique des bons et mauvais conducteur,

- pour les bons,  $N \sim \mathcal{Poi}(\lambda\theta_1)$
- pour les mauvais,  $N \sim \mathcal{Poi}(\lambda\theta_2)$

avec  $\theta_2 > 1 > \theta_1$ .

Si la proportion de bons risques est  $\varrho$ ,

$$\Theta = \begin{cases} \theta_1, & \text{avec une probabilité } \varrho, \\ \theta_2, & \text{avec une probabilité } 1 - \varrho, \end{cases}$$

où  $\theta_1$ ,  $\theta_2$  et  $\varrho$  sont contraints par

$$\mathbb{E}[\Theta] = \varrho\theta_1 + (1 - \varrho)\theta_2 = 1.$$

## Mélange de lois de Poisson et sur-dispersion

La probabilité qu'une police (dont on ne sait pas s'il s'agit d'un bon ou d'un mauvais risque) donne lieu à  $k$  sinistres durant la période de référence est alors de

$$\mathbb{P}[N = k] = \varrho \exp(-\lambda\theta_1) \frac{(\lambda\theta_1)^k}{k!} + (1 - \varrho) \exp(-\lambda\theta_2) \frac{(\lambda\theta_2)^k}{k!},$$

Si  $\Theta$  devient une variable aléatoire continue, de densité de probabilité  $f_\Theta$  alors

$$\mathbb{P}[N = k] = \int_0^{+\infty} \exp(-\lambda\theta) \frac{(\lambda\theta)^k}{k!} f_\Theta(\theta) d\theta, \quad k \in \mathbb{N}. \quad (2)$$

## Mélange de lois de Poisson et sur-dispersion

Soit  $N \sim \mathcal{MPoi}(\lambda, \Theta)$ , alors

$$\begin{aligned}\mathbb{E}[N] &= \int_0^{+\infty} \left( \sum_{k=0}^{+\infty} k \exp(-\lambda\theta) \frac{(\lambda\theta)^k}{k!} \right) dF_\Theta(\theta) \\ &= \lambda \int_0^{+\infty} \theta dF_\Theta(\theta) = \lambda.\end{aligned}$$

et

$$\begin{aligned}\text{Var}[N] &= \int_0^{+\infty} \left( \sum_{k=0}^{+\infty} k^2 \exp(-\lambda\theta) \frac{(\lambda\theta)^k}{k!} \right) dF_\Theta(\theta) - \lambda^2 \\ &= \int_0^{+\infty} (\lambda\theta + \lambda^2\theta^2) dF_\Theta(\theta) - \lambda^2 = \lambda + \lambda^2 \text{Var}[\Theta].\end{aligned}$$

Comme

$$\text{Var}[N] = \mathbb{E}[N] + \lambda^2 \text{Var}[\Theta] > \mathbb{E}[N]$$

pour autant que  $\Theta$  ne soit pas constant.

## Mélange de lois de Poisson et sur-dispersion

Tout mélange de Poisson implique donc une surdispersion des données. La fonction génératrice des probabilités de  $N \sim \mathcal{MPoi}(\lambda, \Theta)$  et la transformée de Laplace de  $\Theta$  sont liées par la formule

$$M_N(z) = \int_0^{+\infty} \exp(\lambda\theta(z-1)) f_\Theta(\theta) d\theta = L_\Theta(\lambda(1-z)). \quad (3)$$

Si nous considérons que  $\Theta \sim \mathcal{G}(\alpha, \alpha)$ ,

$$M_N(z) = \left(1 + \frac{\lambda(1-z)}{\alpha}\right)^{-\alpha},$$

qui est la fonction génératrice des probabilités associée à la loi  $BN(\alpha, \alpha/(\alpha + \lambda))$ .

Les mélanges de Poisson sont identifiables, i.e. si  $N_1 \sim \mathcal{MPoi}(\lambda, \Theta_1)$  et  $N_2 \sim \mathcal{MPoi}(\lambda, \Theta_2)$  alors

$$N_1 \stackrel{\mathcal{L}}{=} N_2 \Rightarrow \Theta_1 \stackrel{\mathcal{L}}{=} \Theta_2.$$

## Mélange de lois de Poisson et sur-dispersion

Les mélanges de Poisson jouissent d'une propriété très importante établie par SHAKED (1980) et connue comme le "Shaked's Two Crossings Theorem".

Si  $N \sim \mathcal{MPoi}(\lambda, \Theta)$  alors il existe deux valeurs entières  $0 \leq k_0 < k_1$  telle que

$$\mathbb{P}[N = k] \geq \exp(-\lambda) \frac{\lambda^k}{k!} \text{ pour } k = 0, 1, \dots, k_0,$$

$$\mathbb{P}[N = k] \leq \exp(-\lambda) \frac{\lambda^k}{k!} \text{ pour } k = k_0 + 1, \dots, k_1,$$

$$\mathbb{P}[N = k] \geq \exp(-\lambda) \frac{\lambda^k}{k!} \text{ pour } k \geq k_1 + 1.$$

## Mélange de lois de Poisson et sur-dispersion

```
1 > library(stats4); library(MASS)
2 > FREQUENCE=c(7840,1317,239,42,14,4,4,1)
3 > x=rep(0:7,FREQUENCE)
4 > table(x)
5 x
6   0    1    2    3    4    5    6    7
7 7840 1317 239  42  14   4   4   1
8 > mean(x)
9 [1] 0.2143537
10 > var(x)
11 [1] 0.2889314
```

## Mélange de lois de Poisson et sur-dispersion

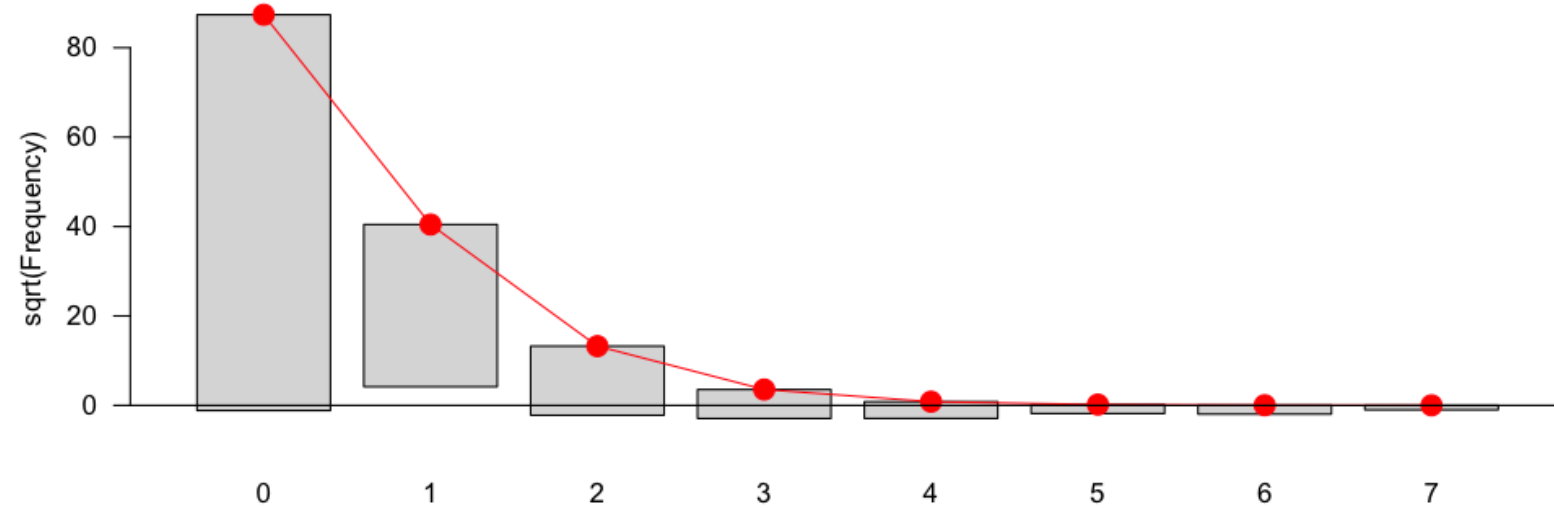
```
1 > fitdistr(x, "poisson")
2   lambda
3   0.21435366
4 (0.00475989)
5 > fitdistr(x, "negative binomial")
6   size          mu
7   0.701486138  0.214355746
8 (0.062786579) (0.005438638)
9
10 > library(vcd)
11 > model.poisson=goodfit(x,type="poisson",method="ML")
```

## Mélange de lois de Poisson et sur-dispersion

```
1 > model.poisson
2
3 Observed and fitted values for poisson distribution
4 with parameters estimated by 'ML'
5
6   count observed      fitted
7     0     7840    7635.622
8     1     1317    1636.724
9     2      239    175.4188
10    3      42    12.53389
11    4      14    0.671671
12    5       4    0.028795
13    6       4    0.001028
14    7       1    0.000031
```

## Mélange de lois de Poisson et sur-dispersion

```
1 > summary(model.poisson)
2
3   Goodness-of-fit test for poisson distribution
4
5             X^2  df      P(> X^2)
6 Likelihood Ratio 302.484  6 2.401523e-62
7 > plot(model.poisson)
```



## Mélange de lois de Poisson et sur-dispersion

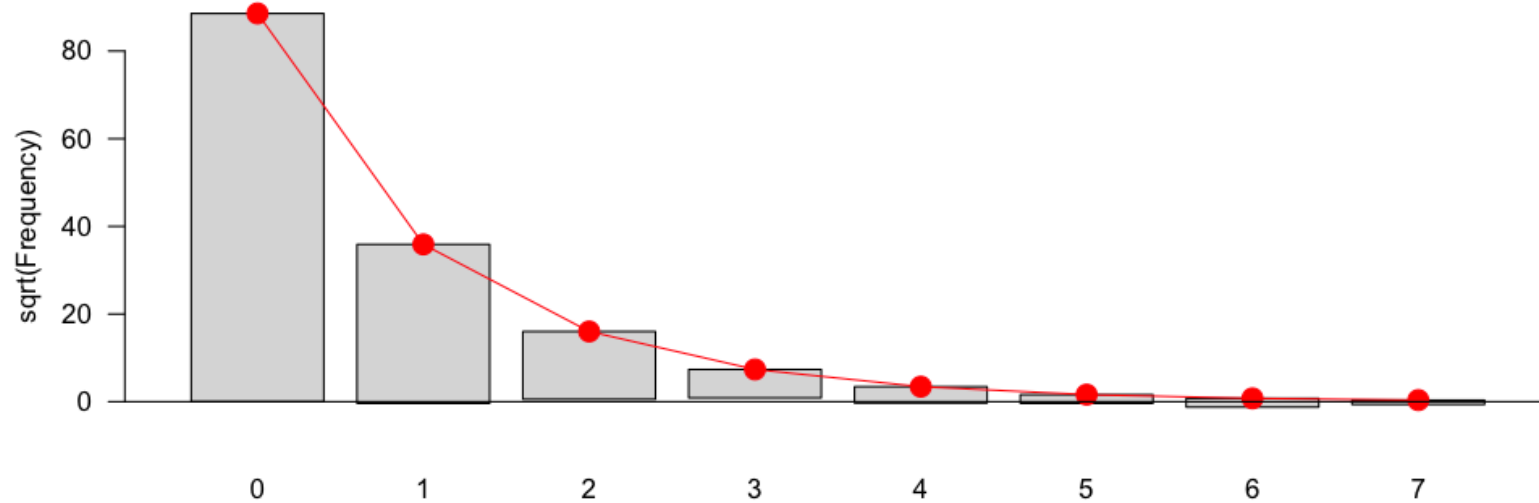
```
1 > model.nb=goodfit(x,type="nbinomial",method="ML")
2 > model.nb
3
4 Observed and fitted values for nbinomial distribution
5 with parameters estimated by 'ML'
6
7   count observed      fitted
8       0     7840  7847.0055590
9       1     1317 1288.3613321
10      2      239  256.5374241
11      3      42   54.0688144
12      4      14   11.7105586
13      5      4    2.5772550
14      6      4    0.5732035
15      7      1    0.1284389
```

## Mélange de lois de Poisson et sur-dispersion

```

1 > summary(model.nb)
2
3   Goodness-of-fit test for nbinomial distribution
4
5   X^2  df    P(> X^2)
6 Likelihood Ratio 17.00285  5 0.00449439
7 > plot(model.nb)

```



## Segmentation en assurance

On qualifie de segmentation toute technique que l'assureur utilise pour différencier la prime, et éventuellement aussi la couverture, en fonction d'un certain nombre de caractéristiques spécifiques du risque à assurer, et ce afin de parvenir à une meilleure concordance entre les coûts qu'une personne déterminée met à charge de la collectivité des preneurs d'assurance et la prime que cette personne doit payer pour la couverture offerte. Dans certains cas, cela peut impliquer que l'assureur refuse le risque à assurer.

## Segmentation et espérance conditionnelle

Si  $N \sim \mathcal{MPoi}(\lambda, \Theta)$ , la fonction de répartition de  $\Theta$  sachant que  $N = n$ , notée  $F_\Theta(\cdot|n)$ ,

$$\begin{aligned} F_\Theta(t|n) &= \frac{\mathbb{P}[\Theta \leq t, N = n]}{\mathbb{P}[N = n]} \\ &= \frac{\int_0^t \exp(-\lambda\theta) \frac{(\lambda\theta)^n}{n!} dF_\Theta(\theta)}{\int_{\mathbb{R}^+} \exp(-\lambda\theta) \frac{(\lambda\theta)^n}{n!} dF_\Theta(\theta)} \\ &= \frac{\int_0^t \exp(-\lambda\theta) \theta^n dF_\Theta(\theta)}{\int_{\mathbb{R}^+} \exp(-\lambda\theta) \theta^n dF_\Theta(\theta)}. \end{aligned}$$

On peut alors en calculer l'espérance,  $\mathbb{E}[\Theta|N = n] = \int_{\mathbb{R}^+} \theta dF_\Theta(\theta|n)$ , qui donne

$$\mathbb{E}[\Theta|N = n] = \frac{\int_0^t \exp(-\lambda\theta) \theta^{n+1} dF_\Theta(\theta)}{\int_{\theta \in \mathbb{R}^+} \exp(-\lambda\theta) \theta^n dF_\Theta(\theta)}.$$

## Segmentation et espérance conditionnelle

On vérifie aisément que l'espérance conditionnelle possède les propriétés suivantes: quelles que soient les variables aléatoires  $X_1$ ,  $X_2$  et  $X_3$ , et la constante réelle  $c$ ,

- (i)  $\mathbb{E}[c|X_1 = x_1] = c$  quel que soit  $x_1 \in \mathbb{R}$ .
- (ii)  $\mathbb{E}[X_1 + X_2|X_3 = x_3] = \mathbb{E}[X_1|X_3 = x_3] + \mathbb{E}[X_2|X_3 = x_3]$  quel que soit  $x_3 \in \mathbb{R}$ .
- (iii)  $\mathbb{E}[cX_1|X_2 = x_2] = c\mathbb{E}[X_1|X_2 = x_2]$ , quel que soit  $x_2 \in \mathbb{R}$ .
- (iv) quelle que soit la fonction  $g$ ,  $\mathbb{E}[g(X_1, X_2)|X_2 = x_2] = \mathbb{E}[g(X_1, x_2)|X_2 = x_2]$  quel que soit  $x_2 \in \mathbb{R}$ .
- (v) si  $X_1$  et  $X_2$  sont indépendantes alors  $\mathbb{E}[X_1|X_2 = x_2] = \mathbb{E}[X_1]$ .

## Segmentation et espérance conditionnelle

A moins que  $X_1$  et  $X_2$  ne soient indépendantes, la loi de  $X_1$  sachant  $X_2 = x_2$  dépend de  $x_2$ . En particulier,  $\mathbb{E}[X_1|X_2 = x_2]$  est une fonction de  $x_2$ , i.e.

$$\mathbb{E}[X_1|X_2 = x_2] = h(x_2).$$

On pourrait ainsi s'intéresser à la variable aléatoire

$$h(X_2) = \mathbb{E}[X_1|X_2].$$

La variable aléatoire  $\mathbb{E}[X_1|X_2]$  a même moyenne que  $X_1$ :

$$\mathbb{E}\left[\mathbb{E}[X_1|X_2]\right] = \mathbb{E}[X_1].$$

## Segmentation et espérance conditionnelle

Lorsque  $X_1$  et  $X_2$  sont continues, cette égalité s'établit comme suit:

$$\begin{aligned}
 \mathbb{E}[\mathbb{E}[X_1|X_2]] &= \int_{x_2 \in \mathbb{R}} \mathbb{E}[X_1|X_2 = x_2] f_2(x_2) dx_2 \\
 &= \int_{x_2 \in \mathbb{R}} \left\{ \int_{x_1 \in \mathbb{R}} x_1 f_{1|2}(x_1|x_2) dx_1 \right\} f_2(x_2) dx_2 \\
 &= \int_{x_2 \in \mathbb{R}} \int_{x_1 \in \mathbb{R}} x_1 f_{\mathbf{X}}(x_1, x_2) dx_1 dx_2 \\
 &= \int_{x_1 \in \mathbb{R}} x_1 f_1(x_1) dx_1 = \mathbb{E}[X_1].
 \end{aligned}$$

Le raisonnement est similaire dans les cas discret et mixte.

## Segmentation et espérance conditionnelle

Epinglons à présent une caractéristique remarquable de l'espérance conditionnelle, qui peut être prise comme définition générale de ce concept.

Quelle que soit la fonction  $h : \mathbb{R} \rightarrow \mathbb{R}$ , nous avons

$$\mathbb{E}\left[h(X_2) \{X_1 - \mathbb{E}[X_1|X_2]\}\right] = 0.$$

La Propriété précédante nous permet d'écrire

$$\begin{aligned} & \mathbb{E}\left[h(X_2) \{X_1 - \mathbb{E}[X_1|X_2]\}\right] \\ &= \mathbb{E}\left[\mathbb{E}\left[h(X_2) \{X_1 - \mathbb{E}[X_1|X_2]\} \mid X_2\right]\right] \\ &= \mathbb{E}\left[h(X_2)\mathbb{E}\left[\{X_1 - \mathbb{E}[X_1|X_2]\} \mid X_2\right]\right] = 0, \end{aligned}$$

ce qui achève la vérification du résultat annoncé.

On peut voir  $X_1 - \mathbb{E}[X_1|X_2]$  comme un résidu (c'est-à-dire comme la partie de  $X_1$  que ne parvient pas à expliquer  $X_2$ ).

Ceci garantit que  $\mathbb{E}[X_1|X_2]$  est le meilleur prédicteur de  $X_1$  au sens des moindres carrés, comme l'indique le résultat suivant.

La variable aléatoire  $h^*(X_2) = \mathbb{E}[X_1|X_2]$  est celle minimisant  $\mathbb{E}[(X_1 - h(X_2))^2]$  sur toutes les fonctions  $h$ .

Ecrivons

$$\begin{aligned}\mathbb{E}[(X_1 - h(X_2))^2] &= \mathbb{E}[(X_1 - \mathbb{E}[X_1|X_2] + \mathbb{E}[X_1|X_2] - h(X_2))^2] \\ &= \underbrace{\mathbb{E}[(X_1 - \mathbb{E}[X_1|X_2])^2]}_{\text{indépendant de } h} + \mathbb{E}[(\mathbb{E}[X_1|X_2] - h(X_2))^2] \\ &\quad + 2 \underbrace{\mathbb{E}[(X_1 - \mathbb{E}[X_1|X_2])(\mathbb{E}[X_1|X_2] - h(X_2))]}_{=0 \text{ par définition de l'espérance conditionnelle}}\end{aligned}$$

sera minimum lorsque  $h(X_2) = \mathbb{E}[X_1|X_2]$ .

## Segmentation et espérance conditionnelle

Il n'y a bien entendu aucune raison de se limiter à une seule variable conditionnante, et on peut considérer un vecteur  $\mathbf{X}$  de dimension  $n$  et définir  $\mathbb{E}[X_1|X_2, \dots, X_n]$ .

Considérons un vecteur aléatoire  $\mathbf{X}$  de dimension  $n$ . L'espérance conditionnelle  $\mathbb{E}[X_1|X_2, \dots, X_n]$  de  $X_1$  sachant  $X_2, \dots, X_n$  est la variable aléatoire  $h^*(X_2, \dots, X_n)$  telle que l'égalité

$$\mathbb{E}\left[h(X_2, \dots, X_n) \{X_1 - h^*(X_2, \dots, X_n)\}\right] = 0, \quad (4)$$

est vérifiée pour toute fonction  $h : \mathbb{R}^{n-1} \rightarrow \mathbb{R}$ .

## Transfert de risque sans segmentation

Tentons à présent de formaliser le problème de la segmentation. Considérons un assuré soumis à un risque  $S$ , prélevé au hasard au sein d'un portefeuille d'assurance. Supposons que toutes les caractéristiques de l'assuré influençant le risque soient reprises dans un vecteur aléatoire  $\Omega = (\Omega_1, \Omega_2, \dots)$ . La notation "oméga" rappelle que le vecteur du même nom contient toute l'information à propos de l'assuré, qu'elle soit observable ou non par l'assureur.

On peut imaginer que l'assureur ne tienne compte en aucune manière des caractéristiques  $\Omega$  de l'assuré, et lui réclame donc une prime pure de montant  $\mathbb{E}[S]$ , la même que celle qu'il réclame à tous les assurés du portefeuille. Dans ce cas, la situation est telle que présentée au Tableau suivant

## Transfert de risque sans segmentation

	Assurés	Assureur
Dépense	$\mathbb{E}[S]$	$S - \mathbb{E}[S]$
Dépense moyenne	$\mathbb{E}[S]$	0
Variance	0	$\text{Var}[S]$

Table 1: Situation des assurés et de l'assureur en l'absence de segmentation.

L'assureur prend donc l'entièreté de la variance des sinistres  $\text{Var}[S]$  à sa charge, que celle-ci soit due à l'hétérogénéité du portefeuille, ou à la variabilité intrinsèque des montants des sinistres.

## Segmentation avec information parfaite

A l'autre extrême, supposons que l'assureur incorpore toute l'information  $\Omega$  dans la tarification. On serait alors dans la situation décrite au Tableau suivant

	Assurés	Assureur
Dépense	$\mathbb{E}[S \Omega]$	$S - \mathbb{E}[S \Omega]$
Dépense moyenne	$\mathbb{E}[S]$	0
Variance	$\text{Var}[\mathbb{E}[S \Omega]]$	$\text{Var}[S - \mathbb{E}[S \Omega]]$

Table 2: Situation des assurés et de l'assureur dans le cas où la segmentation est opérée sur base de  $\Omega$ .

Contrairement au cas précédent, la prime payée par un assuré prélevé au hasard dans le portefeuille est à présent une variable aléatoire:  $\mathbb{E}[S|\Omega]$  dépend des caractéristiques  $\Omega$  de cet assuré.

## Segmentation avec information parfaite

Comme la variable aléatoire  $S - \mathbb{E}[S|\Omega]$  est centrée, le risque assumé par l'assureur la variance du résultat financier de l'opération d'assurance, i.e.

$$\begin{aligned}\text{Var}[S - \mathbb{E}[S|\Omega]] &= \mathbb{E}\left[\left(S - \mathbb{E}[S|\Omega]\right)^2\right] \\ &= \mathbb{E}\left[\mathbb{E}\left[\left(S - \mathbb{E}[S|\Omega]\right)^2 \middle| \Omega\right]\right] \\ &= \mathbb{E}\left[\text{Var}[S|\Omega]\right].\end{aligned}$$

On assiste dans ce cas à un partage de la variance totale de  $S$  (c'est-à-dire du risque) entre les assurés et l'assureur, matérialisé par la formule

$$\text{Var}[S] = \underbrace{\mathbb{E}\left[\text{Var}[S|\Omega]\right]}_{\rightarrow \text{assureur}} + \underbrace{\text{Var}\left[\mathbb{E}[S|\Omega]\right]}_{\rightarrow \text{assurés}}.$$

## Segmentation avec information parfaite

Ainsi, lorsque toutes les variables pertinentes  $\Omega$  ont été prises en compte, l'intervention de l'assureur se limite à la part des sinistres due exclusivement au hasard; en effet,  $\text{Var}[S|\Omega]$  représente les fluctuations de  $S$  dues au seul hasard. Dans cette situation idéale, l'assureur mutualise le risque et il n'y a donc aucune solidarité induite entre les assurés du portefeuille: chacun paie en fonction de son propre risque.

## Segmentation avec information imparfaite

Bien entendu, la situation décrite au paragraphe précédent est purement théorique puisque parmi les variables explicatives  $\Omega$  nombreuses sont celles qui ne peuvent pas être observées par l'assureur. En assurance automobile par exemple, l'assureur ne peut pas observer la vitesse à laquelle roule l'assuré, son agressivité au volant, ni le nombre de kilomètres qu'il parcourt chaque année.

Dès lors, l'assureur ne peut utiliser qu'un sous-ensemble  $X$  des variables explicatives contenues dans  $\Omega$ , i.e.  $X \subset \Omega$ . La situation est alors semblable à celle décrite au Tableau suivant

## Segmentation avec information imparfaite

	Assuré	Assureur
Dépense	$\mathbb{E}[S \mathbf{X}]$	$S - \mathbb{E}[S \mathbf{X}]$
Dépense moyenne	$\mathbb{E}[S]$	0
Variance	$\text{Var}[\mathbb{E}[S \mathbf{X}]]$	$\mathbb{E}[\text{Var}[S \mathbf{X}]]$

Table 3: Situation de l'assuré et de l'assureur dans le cas où la segmentation est opérée sur base de  $\mathbf{X} \subset \Omega$ .

Il est intéressant de constater que

$$\begin{aligned}
 \mathbb{E}[\text{Var}[S|\mathbf{X}]] &= \mathbb{E}\left[\mathbb{E}\left[\text{Var}[S|\Omega] \middle| \mathbf{X}\right]\right] + \mathbb{E}\left[\text{Var}\left[\mathbb{E}[S|\Omega] \middle| \mathbf{X}\right]\right] \\
 &= \underbrace{\mathbb{E}\left[\text{Var}[S|\Omega]\right]}_{\text{mutualisation}} + \underbrace{\mathbb{E}\left\{\text{Var}\left[\mathbb{E}[S|\Omega] \middle| \mathbf{X}\right]\right\}}_{\text{solidarité}}. \tag{5}
 \end{aligned}$$

## Segmentation avec information imparfaite

On peut interpréter cette décomposition du risque pris en charge par la compagnie comme suit: l'assureur, lorsque tous les facteurs de risque ne sont pas pris en compte, intervient pour réparer les conséquences fâcheuses du hasard (premier terme traduisant la mutualisation du risque), mais doit aussi prendre en charge les variations de la prime pure exacte  $\mathbb{E}[S|\Omega]$  qui ne sont pas expliquées par les facteurs de risque  $X$  intégrés au tarif (second terme traduisant la solidarité induite par une personnalisation imparfaite du montant de la prime). En d'autres mots, en plus de contrer les mauvais coups du sort, l'assureur doit également supporter la variabilité des sinistres due aux caractéristiques des assurés, non prises en compte par le tarif.

## Segmentation avec information imparfaite

Dans une tarification segmentée en fonction de  $\mathbf{X} \subset \Omega$ , le partage de la variance de  $S$  s'effectue comme suit:

$$\begin{aligned}\text{Var}[S] &= \mathbb{E}[\text{Var}[S|\mathbf{X}]] + \text{Var}[\mathbb{E}[S|\mathbf{X}]] \\ &= \underbrace{\mathbb{E}[\text{Var}[S|\Omega]]}_{\text{mutualisation}} + \underbrace{\mathbb{E}[\text{Var}[\mathbb{E}[S|\Omega]|\mathbf{X}]]}_{\text{solidarité}} \\ &\quad \rightarrow \text{assureur} \\ &\quad + \underbrace{\text{Var}[\mathbb{E}[S|\mathbf{X}]]}_{\rightarrow \text{assurés}}.\end{aligned}$$

## Tarification *a priori* et *a posteriori*

Toute l'idée qui sous-tend la tarification d'expérience est que l'historique des sinistres révèle les caractéristiques non observables des assurés. Plus précisément, si on note  $\mathbf{S}$  les informations concernant la sinistralité passée des assurés disponibles pour l'assureur, l'information contenue dans  $(\mathbf{X}, \mathbf{S})$  devient comparable à  $\Omega$ , tant et si bien que  $\mathbb{E}[S|\mathbf{X}, \mathbf{S}]$  devrait converger vers  $\mathbb{E}[S|\Omega]$  (dans un sens à préciser).

Important formula  $\mathbb{E}[\mathbf{S}] = \mathbb{E}[\mathbb{E}[S|\mathbf{X}]]$  and its empirical version

$$\frac{1}{n} \sum_{i=1}^n S_i \sim \frac{1}{n} \sum_{i=1}^n \pi(\mathbf{X}_i) \quad (\text{as } n \rightarrow \infty, \text{ from the law of large number}). \text{ interpreted as}$$

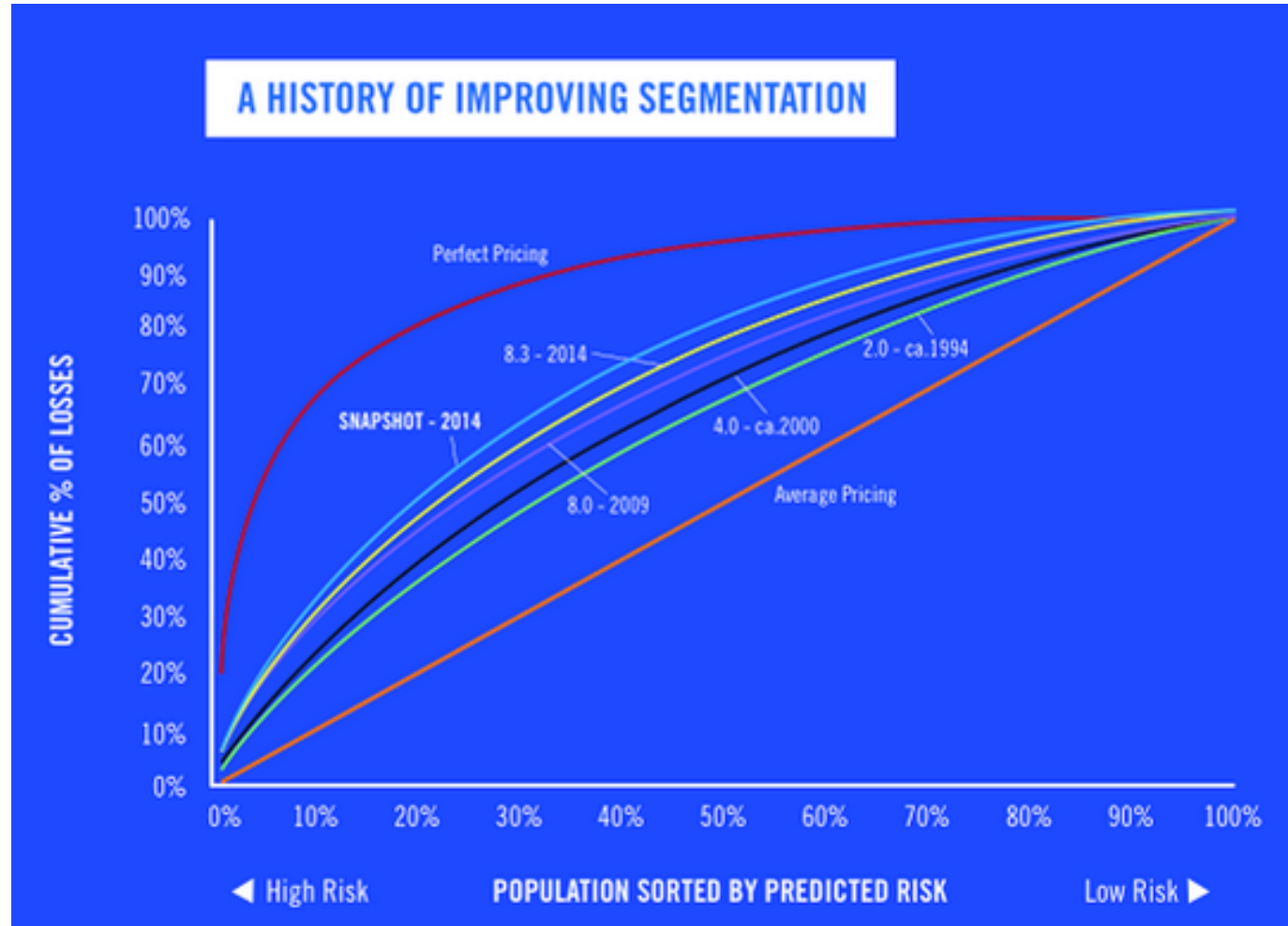
on average what we pay (losses) is the sum of what we earn (premiums).

This is an ex-post statement, where premiums were calculated ex-ante.

## La tarification est *data+model driven*

La prime pure est  $\pi = \mathbb{E}_{\mathbb{P}_X}[S]$ , mais  $\mathbb{P}_X$  dépend du portefeuille...

## Model Comparison and Lorenz curves

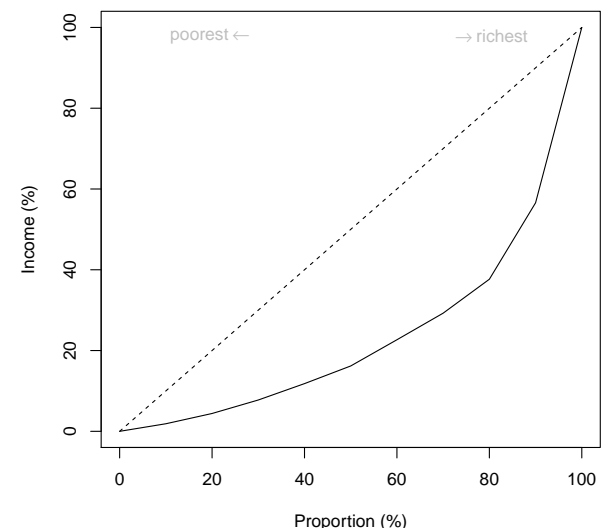


Source: Progressive Insurance

## Model Comparison and Lorenz curves

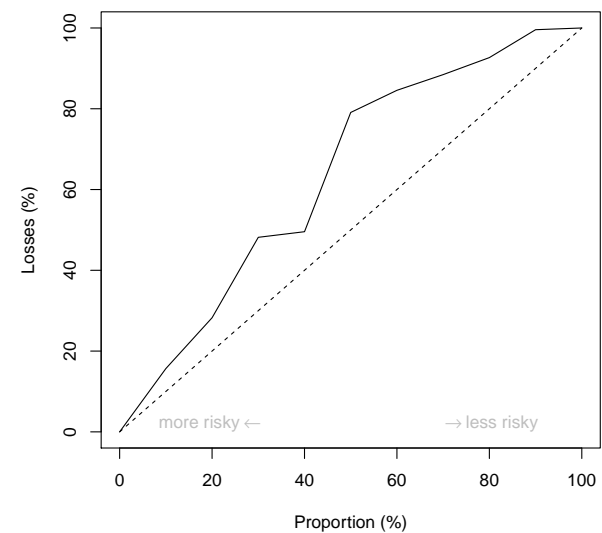
Consider an ordered sample  $\{y_1, \dots, y_n\}$  of incomes, with  $y_1 \leq y_2 \leq \dots \leq y_n$ , then Lorenz curve is

$$\{F_i, L_i\} \text{ with } F_i = \frac{i}{n} \text{ and } L_{\color{red}i} = \frac{\sum_{j=1}^{\color{red}i} y_j}{\sum_{j=1}^n y_j}$$



We have observed losses  $y_i$  and premiums  $\hat{\pi}(x_i)$ . Consider an ordered sample by the model, see [Frees, Meyers & Cummins \(2014\)](#),  $\hat{\pi}(x_1) \geq \hat{\pi}(x_2) \geq \dots \geq \hat{\pi}(x_n)$ , then plot

$$\{F_i, L_i\} \text{ with } F_i = \frac{i}{n} \text{ and } L_{\color{red}i} = \frac{\sum_{j=1}^{\color{red}i} y_j}{\sum_{j=1}^n y_j}$$



## Model Comparison for Life Insurance Models

Consider the case of a death insurance contract, that pays 1 if the insured deceased within the year.

$$\pi(x) = \mathbb{E}[T_x \leq t + 1 | T_x > t]$$

— No price discrimination  $\pi = \mathbb{E}[\pi(X)]$

— Perfect discrimination  $\pi(x)$

— Imperfect discrimination

$$\pi_- = \mathbb{E}[\pi(X) | X < s] \text{ and } \pi_+ = \mathbb{E}[\pi(X) | X > s]$$

## Lectures sur les modèles prédictifs en tarification

Wendler & Modlin [Basic Ratemaking](#). pdf

Barnes [Predictive Modeling—You Mean Actuarial Wizardry?](#). html

Guven [Predictive Modeling](#). html

Myers [Beyond GLMs](#). html

Holler, Sommers & Trahair [Something Old, Something New in Classification Ratemaking With a Novel Use of GLMs for Credit Insurance](#). pdf

Newton [Multi-Year Policy Pricing](#). pdf

Werner & Guven [GLM Basic Modeling: Avoiding Common Pitfalls](#) . pdf

Mildenhal [A Systematic Relationship Between Minimum Bias and Generalized Linear Models](#). pdf

FFSA [La segmentation : un fondement essentiel de l'assurance](#). html

Galloy [Jusqu'où faut-il segmenter?](#). html

Charpentier, Denuit & Elie [Segmentation et Mutualisation, les deux faces d'une même pièce](#). pdf

Charpentier [La loi des petits nombres](#). pdf